

全国合成氨自动化第二次专业會議

技术資料选編

(内部資料)

化学工业部上海化学工业研究院編印

1965年9月

目 录

- | | |
|-------------------------------------|-------|
| 1. 变换机组溫度自动調節系統及其現場运行..... | (1) |
| 2. 飽和塔出口溫度极值特性試驗..... | (7) |
| 3. 气动記錄式二次仪表及压力溫度变送器試制總結..... | (15) |
| 4. 气动薄膜高压調節伐..... | (20) |
| 5. 电容式高压液位計..... | (35) |
| 6. KW - 62 型感应式高压液面計..... | (50) |
| 7. 工业色譜仪試制總結..... | (55) |
| 8. 色譜仪信号处理裝置試制小結..... | (60) |
| 9. 变换炉出口 CO 多点分析小結..... | (69) |
| 10. 合成循环气 CH ₄ 分析小結..... | (74) |

变换机组溫度自動調節系統 及其現場运行

兰州化学工业公司

前　　言

一机热工仪表科学研究所、化工部上海化学工业研究院和我公司一道，于1963年开始，以兰州化肥厂的一个变换机组为试点，对其以电动单元組合（DDZ）系列仪表结构的溫度自动調節系統进行了試驗研究。研究确定的自動調節系統于1964年8月在生产現場启用。

半年多的試运行結果表明，对于稳定变换炉一段触媒溫度而言，采用具有輔助被調量的速度信号參予的溫度和流量比率串級多环系統、有一定成效。在此基础上，簡單的单环系統足以鎮定二段触媒溫度。

試运行結果还表明，我国試制的DDZ——I型仪表、除个别单元的性能欠稳外，其余均能基本滿足自動調節系統的現場試驗研究要求。

試运行結果也表明，不論自動調節系統，抑或所选用的自动化技术工具，欲对工业生产发挥更大成效，均有完善和改进的必要。

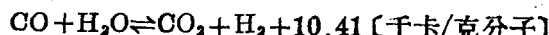
I、变换炉溫度自動調節系統簡介

一氧化碳变换工艺过程在合成氨生产过程中佔居重要地位。这不仅由于它为氨的合成工序制备含有足夠氢成分的原料气，从而直接影响氨的产量；而且还由于作为变换工艺过程主要消耗指标的过热蒸汽用量和触媒用量在整个合成氨生产的操作費用中佔有极大比重。同时，变换气质量的合格将大大減輕原料气精炼工序的負載。

在以固体原料气化方式制造合成氨的生产过程中，一氧化碳变换工艺的生产操作被公认为具有細膩、灵活的特点。这主要是因为非均相催化过程的机理比較复杂，影响工艺过程平稳的扰动因素很多。特别是对我公司合成氨厂而言，由于沸腾层气化炉在使用低化学活性和高灰分的褐煤时所显示的許多缺陷，从而造成半水煤气的成分和流量（負荷）大幅度地頻繁波动，更是影响工艺过程平稳进行的原因之一。

1. 控制指标的闡明

半水煤气中的一氧化碳和过量水蒸汽在触媒的催化下发生反应



藉以使氮合成所必須的氢和氮組分达到适宜比率，并使一氧化碳轉化为易于洗滌的二氧化碳。在工业生产中，以轉化率作为这一反应进行深度的标志，其定义是：

$$X = \frac{V_{CO} - V_{CO}^1}{V_{CO} [100 + V_{CO}^1]} \cdot 100$$

式中 X——轉化率;

V_{CO} ——原料氣中一氧化碳的容積百分數;

V_{CO}^1 ——變換氣中一氧化碳的容積百分數;

顯然，一氧化碳轉化率的理論值取決於反應平衡

$$K = \frac{[CO_2][H_2]}{[CO][H_2O]}$$

式中 K——反應平衡常數;

(X)——以克分子計的物質濃度。

K值與反應溫度T有關

$$K = F(T)$$

就正反應而言，由於反應是放熱的，所以T值愈低，K值愈大，則轉化率也愈高。

從產率角度出發，要求正反應以較大速度進行。阿瑞尼烏斯方程闡明了反應速度和反應溫度之間的關係。

$$k = k_0 \exp \left[-\frac{E}{RT} \right]$$

式中 k——正反應速度;

k_0 ——基準反應速度;

E——反應活化能;

R——克拉伯龍數;

T——反應溫度。

可以看出，欲使k值增大，則需T值升高。但這是與反應平衡對T值的要求相矛盾的。

為了解決這一矛盾，工業上採取兩段變換的生產方式。作為反應設備的變換爐，其第一段操作溫度較高，以期增大反應速度，使大部分一氧化碳在這裡轉化；第二段操作溫度較低，以期增大反應平衡常數，使反應進行得更徹底。這樣，即滿足了產率要求，也滿足了質量要求。

用以催化的觸媒在既定的溫度區間內顯示最大的活性。按其活性溫度區間的不同，可分為高、中、低溫三種觸媒。目前使用較多的是中溫觸媒，它的活性溫度區間是450~530°C。由於低溫觸媒具有許多優點，因而也開始被單獨或與中溫觸媒混裝使用。

特別重要的是，劇烈的溫度波動將惡化觸媒的化學性和機械性。穩定操作溫度，藉以延長觸媒壽命，是降低產品成本的重要途徑。

實際生產中，當溫度波動時，藉助於改變補加的蒸汽量來補償。這時，由於補加蒸汽使反應熱，顯熱及空間速度均得以改變，從而調節了反應溫度。

補加蒸汽費用是產品成本的重要組分之一。從設法降低反應溫度對其最佳給定值的離散程度入手，使補加蒸汽量的變化軌跡逼近於期望過程，達到降低消耗定額的目的，是屬於自動化技術解決的課題。

產率，質量和消耗定額是工業生產的經濟指標。具體到變換工藝過程，它們是：單位時

間內的半水煤气处理量；变换气中残余的一氧化碳含量；处理每千立方米半水煤气所需要的过热蒸汽量和触媒使用期等。

綜上所述，适宜的反应溫度在一定程度上标志着产率，质量和消耗三者之間的最佳結合，以它作为調节系統的被調量，

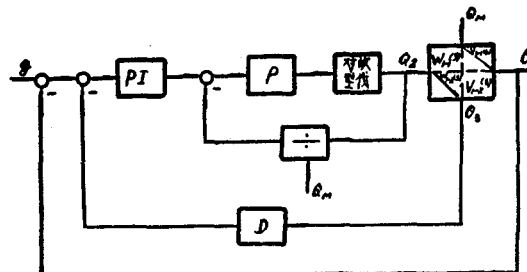
2. 一段触媒溫度自动調节系統

变换炉一段的操作状况較二段更为重要，該段溫度是工艺生产控制的重点。这是因为大部分一氧化碳在这里轉化，而进入变换炉的扰动首先威胁一段操作的平稳。

就一段溫度而言，主要扰动是过热蒸汽流量和原料气流量之間的比率。当操作人員根据原料气的供应情况对变换机組之間进行負荷分配时，半水煤气流量的扰动作用是不可忽視的。

工艺生产中，以第一段触媒的最高溫度点作为控制点(俗称热点)。然而从扰动施加点到达热点溫度通道是一个传递过程、反应过程以及热慣性极大的对象。工艺生产中，常可以在几位置上处于热点之前、而其慣性最小的溫度檢測点作为操作的輔助訊息。这点俗称敏点。

在对变换炉的动态特性进行了大量的
飞升法和頻率法的現場測試之后，归纳出了各有关通道的传递函数。以这些归纳后的
数学表达式为素材，經過理論分析和模
拟試驗，确定以有敏点溫度的速度信号参
予的热点溫度和两气（过热蒸汽和半水煤
气）流量比率串級多环系統來自动調节变
换炉一段触媒溫度。它的結構示于图一。



图一 变换炉一段溫度自动調节系統結構

其中，对象主通道的传递函数形如：

$$W_{1-1}(S) = \frac{e^{-zS}}{a_3 S^3 + a_2 S^2 + a_1 S + 1} [—]$$

对象輔通道的传递函数形如：

$$W_{1-2}(S) = \frac{1}{b_3 S^3 + b_2 S^2 + b_1 S + 1} [—];$$

扰动各通道的传递函数 $V_{1-1}(S)$ 、 $V_{1-2}(S)$ 形如 $W_{1-2}(S)$ 。

这里，自动化技术工具全部采用一机部热工仪表科学研究所試制的DDZ—I型仪表。

曾分別以飞升法和頻率法的动态測試結果为素材，在模拟式电子計算机上进行了旨在寻求調節器最佳整定参数空間的試驗。經過現場試运行，証明下列整定参数授予自動調節系統較强的抗負荷扰动能力：

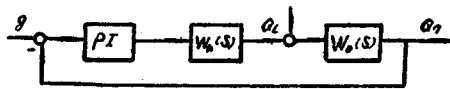
主調節器的比例度 $\delta p = 100\%$ ；积分时间 $T_i = 450$ [秒]。付調節器的比例度 $\delta = 38\%$ 。
微分器的比例度 $\delta = 9\%$ ；微分时间 $T_d = 350$ [秒]。

这里，参加流量比率运算的过热蒸汽流量是以其压力瞬时值来校正的。

3. 二段触媒溫度自动調节系統

应当认为，在对一段触媒溫度实施自动調节后，对于变换炉二段的扰动将被大大削弱。

变换炉二段触媒的第一测温点(T_7)，最早感受主要扰动的影响，以此作为被调量，不仅为工艺生产所要求，而且也为采用结构简单的单环系统以满足调节品质的要求提供了可能，如图二所示。



图二 变换炉二段温度自动调节系统结构

调节器的最佳整定参数是在现场“临界振荡法”所得素材的基础上，进行“再整定”而设置的。

曾以日本制 EREA-100 型自动电位计附气动调节装置的三作用调节器闭环运行，获得良好的效果。所设置的最佳整定参数是：

$$\delta p = 20\% \quad T_i = 360 \text{秒} \quad T_o = 90 \text{秒}$$

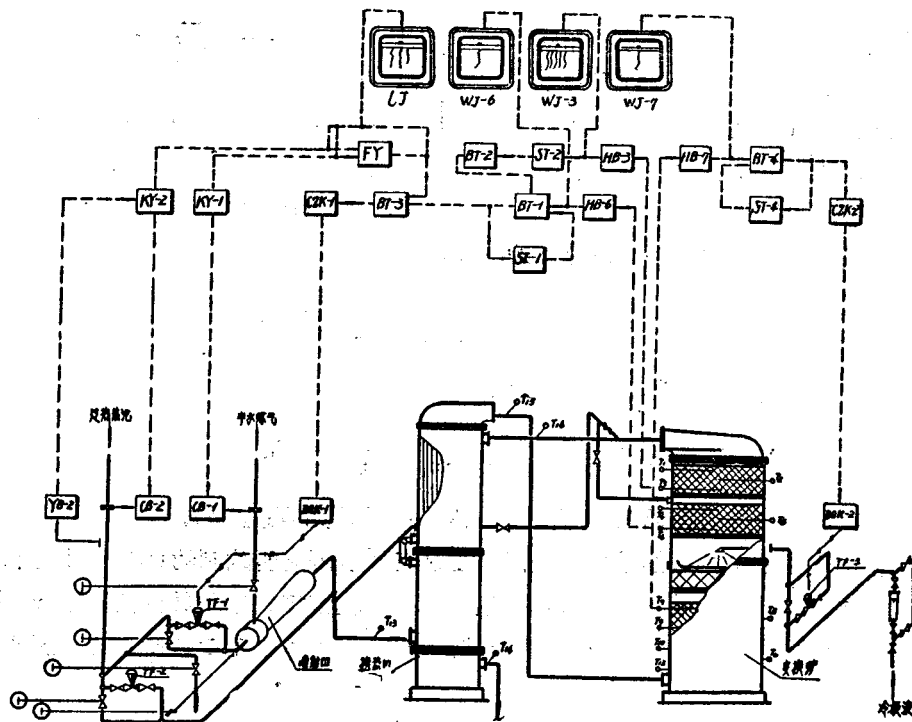
又以国产仿苏ЭПД-32型重定调节器作了运行试验，结果甚为满意。它的整定参数是：

$$\delta p = 60\% \quad T_i = 480 \text{秒}$$

DDZ-I型仪表所构成的二段温度调节系统运行得不错，其整定参数是：

$$\delta p = 48\% \quad T_i = 350 \text{秒}$$

变换工艺流程和 DDZ-I型仪表构成的自动调节系统，示于图三。



图三 变换工艺流程及调节系统图

II、自动调节系统的现场运行

实际上，当着自动调节系统的结构一經确定，其调节任务的实现便首先依赖于自动化技

术工具的正常运行，現就調節系統运行中的几个問題予以介紹。

1. 引入敏点溫度作为輔助信号的必要性。

就敏点溫度相对于其它各点溫度而言，不仅对于各种扰动具有較大的傳递系数，而且具有較大的变化速度。它和热点之間具有一定的关系。敏点溫度的变化将引起热点溫度的变化。从自动調節系統角度来看，主要扰动至敏点溫度通道是至热点溫度通道的一部分。敏点溫度参加調節系統，特別是采用了它的速度信号时，大大改善了調節品质，免除了調節器整定方面的困难。

現場运行情况表明，敏点信号參予調節系統不仅是改善了調節品质，而且已成为系統能夠工作的首要条件。

事情是这样，当着半水煤气流量(負荷)大幅度阶跃变化时，有可能出現敏点和热点溫度变化方向相反的情况，即

$$\frac{d\theta_s}{dt} > 0 \quad \text{而} \quad \frac{d\theta_h}{dt} < 0$$

比如，在某一时刻，半水煤气量突然下降，造成空間速度降低。流速降低了使原料气在敏点附近停留时间較长：使大量一氧化碳有机会得以轉化，放出較多反应热；使敏点溫度升高。当着原料气到达热点时，需要轉化的一氧化碳已剩余无几，即主要反应区域由热点上移至敏点。这时热点溫度便会下降。如果調節系統仅以热点溫度来校正流量比率，則必然是以“热点溫度下降”这一訊息为依据来減小补加蒸汽流量。然而这种調節是錯誤的。人工操作时，操作人員需依据敏点溫度的上升速度和热点溫度的下降来决定增大补加蒸氣量。这时，以补加蒸氣来补偿由于負荷下降所造成的空速降低，使反应层恢复原状。同时，以补加蒸氣来改变显热和反应热，使热点溫度得以恢复。当敏点溫度也參予調節系統来校正流量比率值时，在一定程度上模拟了操作人員的动作，因而便能夠保証系統工作的正常。

2. 二段自動調節系統的使用

在工艺流程中，設置了回收高溫变换气热量的換热器。溫度較低的原料气首先在列管式換热器中与变换气进行逆流換热，使原料气达到触媒的活性溫度。这样，若因某种扰动促使炉溫发生偏移、則經換热器后，进入变换炉的原料气也将产生方向与其相同的溫度偏移。这样，变换反应的正向速度或者总反应热也将产生方向与其相同的偏移。从而发生了正反馈。

若在一段溫度未实现自動調節的情况下，仅仅使二段溫度調節系統投入运行，这时，若因某种扰动造成热点溫度升高，則必然使二段溫度(T_7)也升高，調節系統即自动地增加冷凝液噴淋量。大量的水吸收了变换气的显热而变为蒸氣，不仅使 T_7 点溫度稳定在給定值而不再上升，而且会降低了整个二段的其它溫度。这时，低溫的变换气导致經過換热器的原料气达不到触媒活性溫度。使大部分一氧化碳必須在热点处方能得以轉化，从而会使热点溫度继续升高。这样連續輪番地正反馈，必将导致整个变换炉的工况不平稳。

当一段溫度首先实现自動調節时，上述情况可以免除。因而在調節系統的运行中，二段調節系統的运行应迟于一段調節系統，但不可单独运行。

3. 其他問題

工艺设备中设置了蒸汽喷射器。在这里使蒸汽形成高速流束，以牵引半水煤气通过阻力較大的变换炉。兰化公司合成氨厂所生产的半水煤气，当送至变换工段时，压力已极低。特别是到达喷射器前压力仅有100~120〔毫米汞柱〕左右。这样，正确与細腻地使用“吸引咀”对于尽大范围地提高负荷，降低消耗均有一定作用。在实现温度自动调节的情况下，吸引咀的位置仍应按以往的使用方式来进行人工調整。

人工操作时，依靠調整补加蒸汽閥門的开度和吸引咀來調整进入炉內的原料气流量。在实现炉溫自动调节的情况下，由于补加蒸汽閥門的开度主要是依据半水煤气流量和炉溫而定，人为因素不宜另作改变，这时，改变负荷便主要依靠調整吸引咀來实现。实际上，在目前的生产条件下，负荷大小几乎是听其任意而靠自然进行分配的。

III、 簡 単 結 論

1. 現場运行的实际情况表明，現行的自動調節系統对于克服影响炉溫波动的各种扰动而言，表現得极为良好。尤其是在一段溫度調節系統中，由于敏感信号的引入，不仅改善了調節品質，而且成为系統能夠經受較大的負荷扰動的先決条件。

2. 在一段溫度已被自動調節的基础上，二段溫度調節系統结构毋需过于繁杂。

3. 現行的自動調節系統中引入了蒸汽压力瞬時值的校正信号，对于克服蒸汽压力扰动具有較好效果。但就工业生产的使用而言，过多的变量參予調節系統就相当于增加了使系統动作失誤的可能性。因为这时，至少会由于过多的技术工具发生故障而失誤系統不能正常工作。因此，对于諸如变换工段这种多机組并联操作的生产方式，在单独克服蒸汽压力的扰动后，再予以鎖定，将更有利子工业生产的使用。

4. 我国試制的DDZ—I型仪表首次在工业生产中使用，經過現場的反复調整与檢驗，終于获得了較滿意的結果。現場运行表明，DDZ—I型仪表在稳定性和使用方便性等方面再予提高后，可以完全滿足工业生产的使用要求。

飽和塔出口溫度極值特性試驗

兰州化学工业公司

前 言

隨着工業生產自動化的发展，出現了很多較為複雜的被控對象，這些被控對象對於控制質量的要求也提高了，如：希望有最佳的經濟指標，即最大的生產率、最低的成本、以及最高的純度等。這些要求用一般的自動調節系統是難以滿足的。近十多年来廣泛地採用自動搜索方法，在一定範圍內不斷改變可控參數的整定值，使某一控制指標達到最佳化的極值調節系統。

我公司根據1963年6月在蘭州合成氨生產過程自動化專業會議上所達成的協議，先後于1964年3月和8月與北京電器科學研究院一起，對現場進行了調查分析工作，確定以变换工段的熱水塔——飽和塔系統為極值調節的試點。並于8—9月份對飽和塔進行了極值特性的初步測試。證明熱水塔——飽和塔系統存在實現極值調節的可能性。

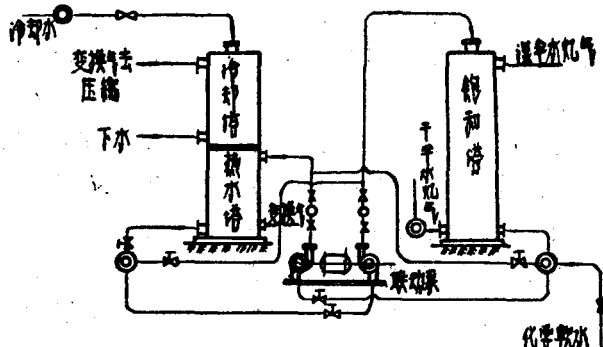
在這次初步測試的過程中，由於設備運行存在一些不正常情況，測試數據及由此得出的初步結論尚不夠全面，本篇報告僅對前一階段工作作一小結，並提出我們的看法，如有不妥之處，請讀者給予批評指正。

I. 對象特性的試驗研究：

1. 塔系統的工藝分析：

塔系統的工藝流程示於圖一。

由此流程可以看出，飽和塔主要作用是提高半水煤气的溫度和濕度。熱水與半水煤气在飽和塔料填上接觸時，進行汽化、蒸發，使水溫下降。在塔內同時進行著傳熱，傳質過程。所以諸如接觸表面、淋洒情況、推動力等因素都影響塔操作效率。



圖一 塔器工圖流程圖

出口半水煤气中所含的（即回收的）水蒸氣量，是由飽和塔出口溫度和氣體壓力決定的。出口氣體中所需的水蒸氣量為：

$$G = \frac{P_{H_2O} \cdot \varphi}{P_{\text{總}} - P_{H_2O}\varphi} \times \frac{18}{22.4} \left(\frac{\text{公斤蒸氣量}}{\text{米}^3 \text{半水煤气}} \right)$$

式中 P_{H_2O} —— 水蒸氣的分壓（毫米汞柱） φ —— 相對濕度（%）

$P_{\text{總}}$ —— 數總（以754毫米汞柱計）

由上式可看出：

(1) 當出口溫度一定時，一般可以認為飽和塔出口氣體中水蒸氣的分壓 P_{H_2O} 也是一定

的，此时回收的水蒸汽绝对量与总压力($P_{\text{总}}$)有关。 $P_{\text{总}}$ 越低，则 $(P_{\text{总}} - P_{H_2O})$ 越小，而 $P_{H_2O}/(P_{\text{总}} - P_{H_2O})$ 就越大。亦即回收的蒸汽量越多。但它是不可控因素。

(2) 当气体的饱和度不变或变化很小时，若温度越高，则水蒸汽夹带量越多。因为温度越高、 P_{H_2O} 越大，这样可使进入变换炉的外加蒸汽减少。具体可由表1看出。

表 1 水温对饱和塔出口煤气水蒸汽含量的影响

温 度 ℃	1千标准立方米半水煤气出饱和塔时含蒸汽量(公斤)
74	372
75	389
76	427
77	457

按年产10万吨氨计算，提高饱和塔出口温度，预估的节约蒸汽量及其经济效益如表2所示。

表 2 提高出口温度的经济效益

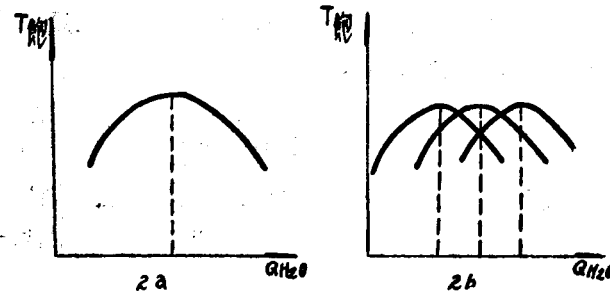
出口温度变化 ℃	蒸汽节约量(吨/年)	节约价值(万元/年)
74—75	70,000	6.70
75—76	22,000	14.74
76—77	34,000	22.78

由此可以看出饱和塔出口煤气温度的高低对于变换过程蒸汽消耗量的多少，起着很大的作用。工艺生产把它作为重要的控制指标，饱和塔出口煤气温度取决于热水温度、热喷淋量以及半水煤气量等。

对年产10万吨氨，每吨氨用半水煤气4000立方米计，则年处理量为400,000千米³。把上述数据代入公式(1)，计算结果得表2(每吨蒸气按6.7元计)。

对于既定的设备，当处理气体量一定时，调节循环热水量会影响热水温度和气液的接触。循环水量增加，会使气液接触良好。在降低饱和塔顶气体和液体的温差的同时并提高气体的饱和度，这是有利的。但由热量衡算表明，因为降低了热水塔出口的热水温度，故引起了煤气出口温度的降低，这是不利的。因此，循环水量过大反而会降低饱和塔出口煤气温度，对回收蒸汽极为不利。^[3]

反之，若循环水量过小，虽然热水温度可高些，但饱和塔气液接触不良，而增加了气液温差，又会使饱和塔出口温度降低。由此可见，在某一水量下会使饱和塔出口煤气温度是最高的，如图2a所示。然而，这一特性系随半水煤气量和变换气温度等因素的影响而漂移，如图2b所示。



图二 饱和塔极值特性

通过估算得知，由于调节作用～被调节参数这一通道比扰动通道有较大的传递系数，而且热水循环量是工艺生产中唯一可控的参数，所以调节热水的循环量，从而使饱和塔出口煤气温度为最佳值是合理的。

各通道传递系数的计算结果列于表 3，

表 3 各通道的传递系数

通道	传递系数
热水循环量—饱和塔出口煤气温度	0.543 度/米 ³ 热水量
半水煤气量—“	-0.309 度/1 公斤分子干半水煤气
变换气温度—“	0.128 度/1 度变换气温度

上述分析证明，热水塔—饱和塔系统具有实施极值调节的可能性。

2. 对象特性测试及其数据处理结果：

从上面的粗略分析，尚不足以肯定塔器系统中出口煤气温度与循环水量间存在极值关系及其漂移情况。为了进一步确定塔器系统采用极值调节的可能性及必要性，以及为极值调节系统的分析研究提供原始数据，曾于 1964 年 8 月到 9 月份和北京电器科学研究院一起进行了塔器系统的特性测试。

(1) 测试内容：

- 测量饱和塔出口半水煤气的温度和湿度及其与循环水量之间的静态特性；
- 测量循环水量与出口温度通道的动态特性；
- 测量和分析主要扰动的统计特性及有关通道的动态特性。

(2) 测试过程：

测试简图如图三所示。

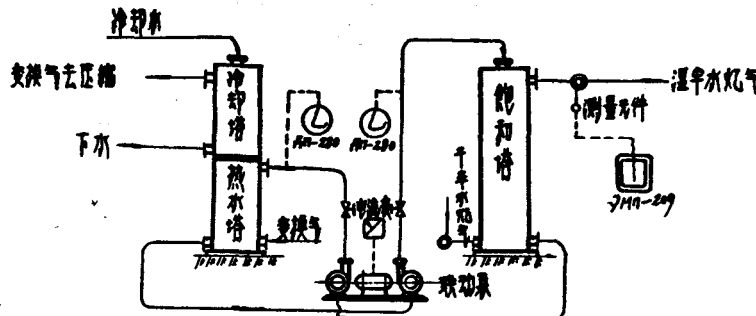


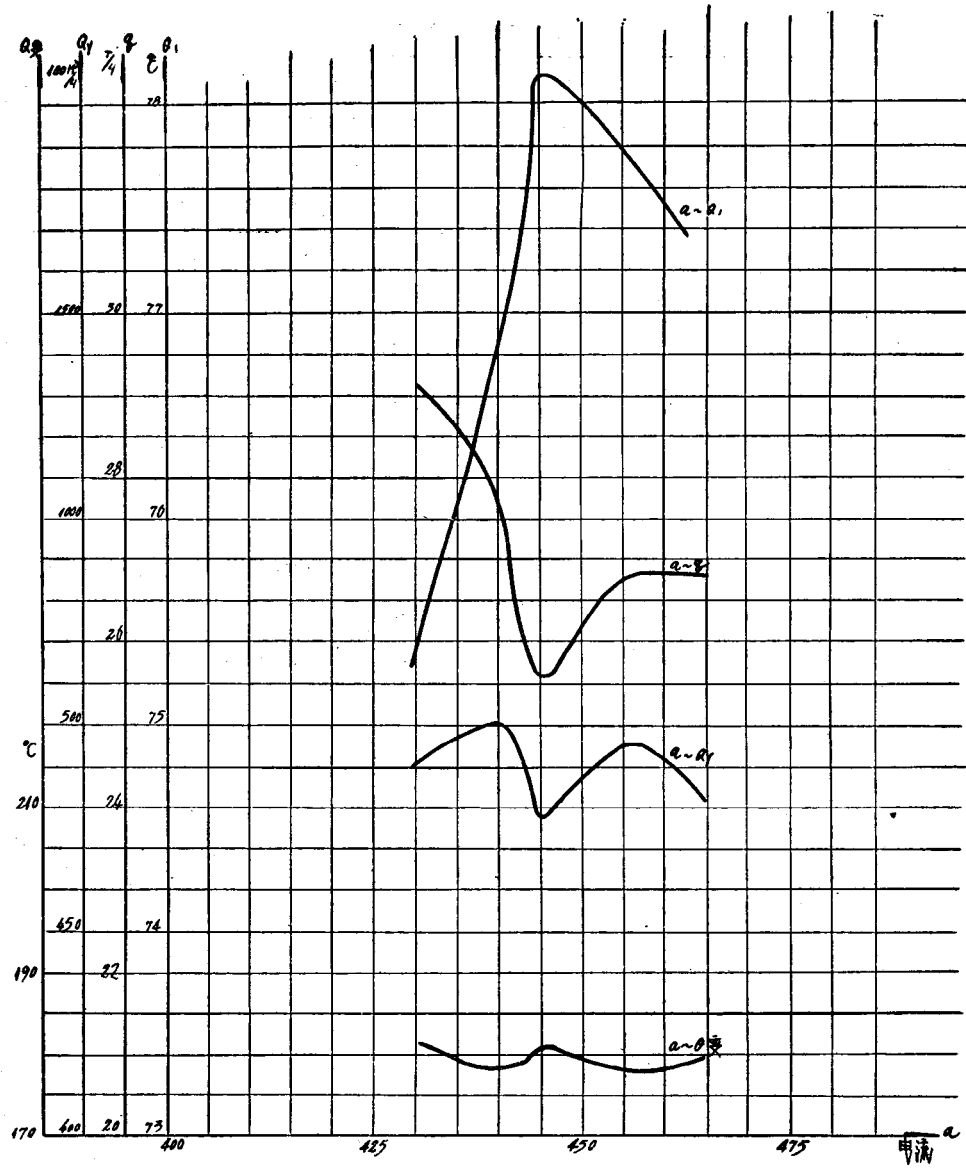
图 3 测试简图

i. 在工况稳定条件下：改变循环水量，观察饱和塔出口煤气温度变化，每隔 5 分钟记录一次变换气入热水塔温度、半水煤气量、及总蒸汽消耗量。待煤气出口温度稳定后，再逐次从大到小及从小到大地改变循环水量（每次改变量为 $\Delta I = 10 \sim 15$ 安培）。测取一条静态特性曲线所需时间为 4—6 小时。

ii. 记录出口煤气温度的主要扰动煤气负荷及变换气温度的随机波动情况。

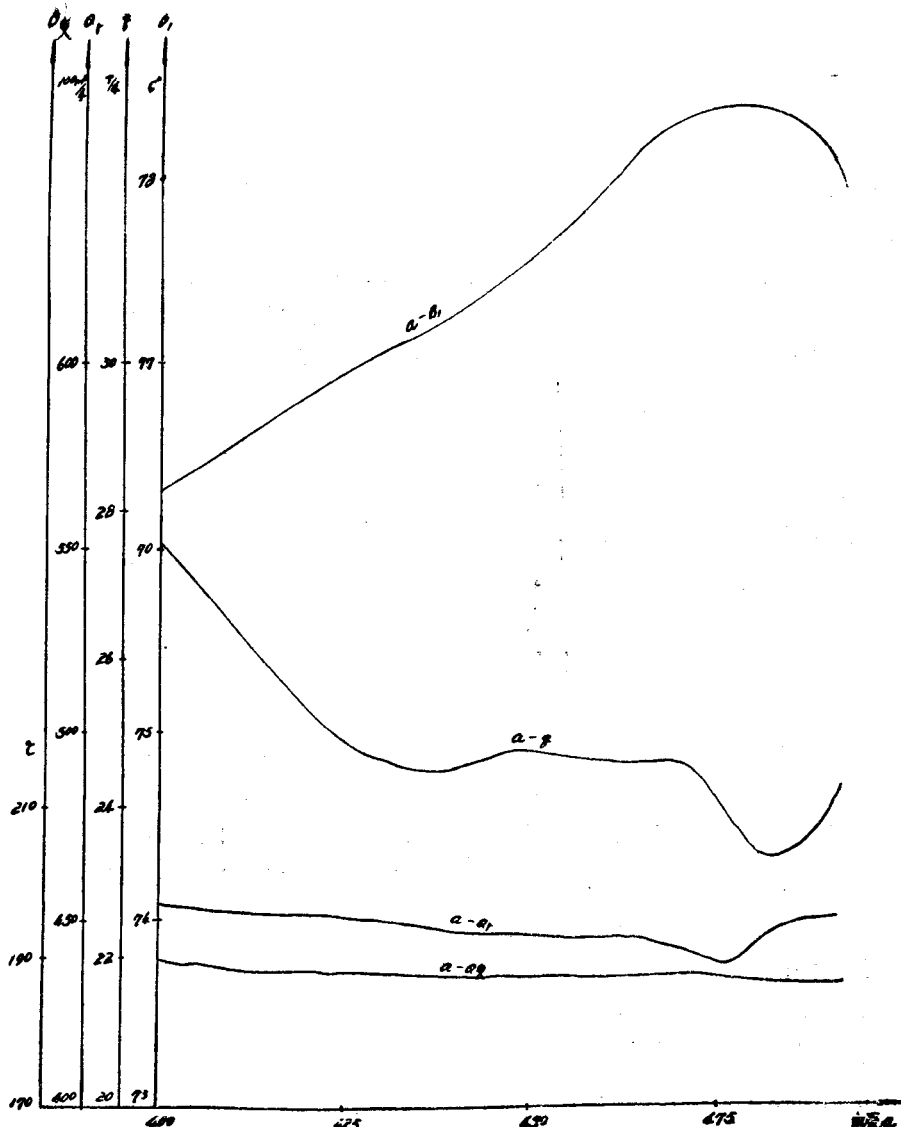
(3) 测试结果及其分析：

i. 饱和塔出口煤气温度及蒸汽消耗定额分别与循环水量间的静态特性是根据三次测试记录数据，以联动泵的电流为横坐标所得的静态特性曲线。如图四、五、六所示。

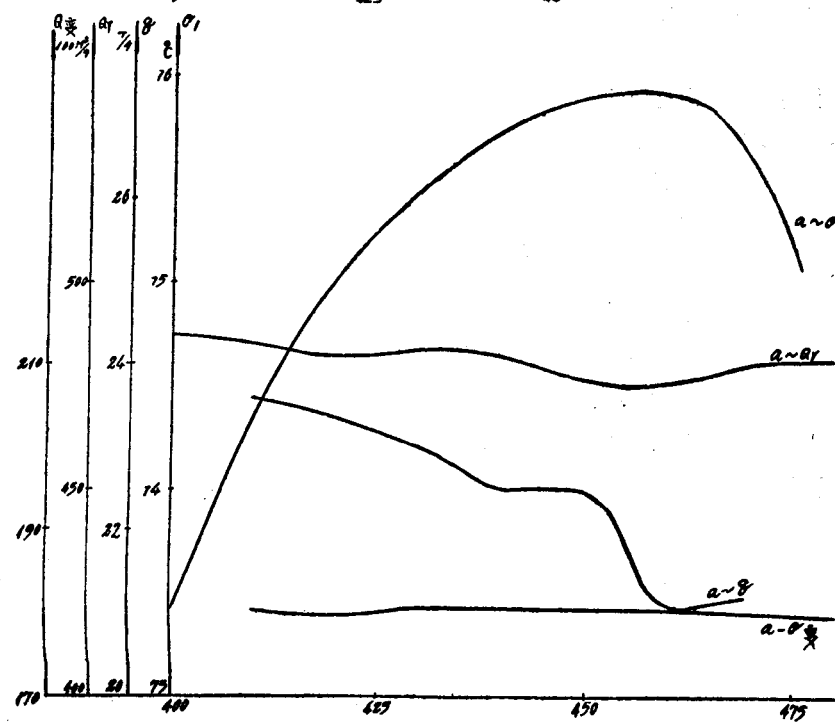


图四 对象静态特性曲线

图五 对象静态特性曲线



图六 对象静态特性曲线



(i) 饱和塔出口半水煤气温度与循环水量間的靜态特性存在极值关系，而且随扰动因素（煤气負荷及变换气溫度）的影响有不定向的漂移。

(ii) 随着饱和塔出口溫度的增加，蒸汽消耗量是下降的。三次測試結果均用最小二乘法进行了估算，其結果是：溫度每增加1度，蒸汽消耗分別可以減少1.14吨/时、1.05吨/时、0.71吨/时。平均为0.97吨/时。則每年节约蒸汽量为8380吨，价值5.6万元^[4]。

由于变换工段的蒸汽消耗佔全厂的60%，而变换气成本中除掉原料气外，蒸汽佔比重最大（約10%）^[5]。因此蒸汽消耗是变换工段的重要經濟指标。由此可見，实现饱和塔出口煤气溫度的最佳控制具有重大的經濟意义。

ii. 循环水量 Q_{H_2O} 与溫度通道的动态特性：

对水量阶梯变化所引起溫度飞升特性，利用 M. П. СИМОН 法求取了該通道的傳递函数，見附录。

分析結果表明，該通道的动态特性重复性差，故在理論分析时应予考慮。

iii. 扰动的統計特性：

对循环水量基本稳定时，所测取的煤气溫度波动随机过程及統計特性进行了分析。其結果表明在循环水量基本不变条件下，溫度随机波动的頻率和幅值却是比較大的，如图七所示。随机干扰将严重影响搜索過程的稳定性及搜索品質。因此为了在塔器系統实现极值調節和提高搜索品質，在进行系統的分析綜合及模拟實驗时，必須考虑随机干扰及极值点漂移的統計特性。

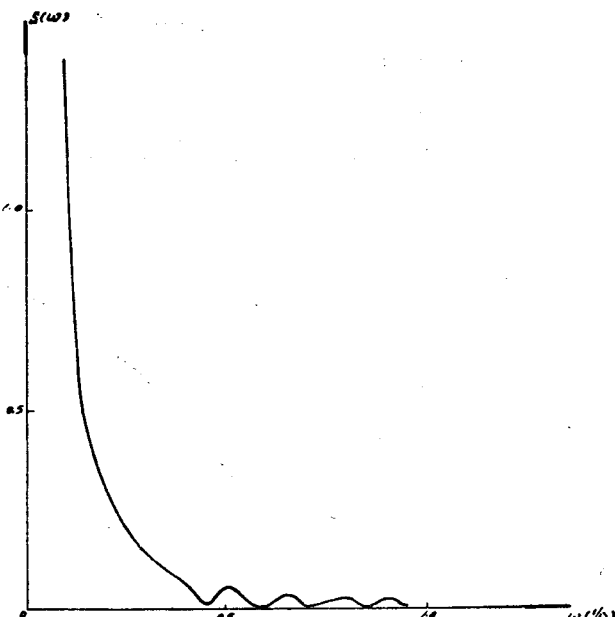
(4) 存在問題：

i. 由于热水塔填料损坏严重，故測試期間仅有二塔运行。測試是在設備运行非正常情况下进行的，故本次測試只能定性地說明溫度和水量間存在极值关系。

ii. 測試共进行了三次，其中两次是在水量表停修，而以联动泵电流为依据求取的。第三次測試时，水量表修复。以水量及以电流作出的极值特性，基本上吻合，說明电流和水量間的关系是單調的。測試結果有一定的可靠性。

iii. 本次測試由于条件关系沒有分析出口煤气的湿含量，只是用蒸汽消耗間接地表示了溫度与循环水量的关系。

由于測試存在着上述問題，且測試次数較少。为了对塔器极值控制系统分析綜合及模拟



图七 对象动态特性曲线

实验提供素材，因而需对塔器系统作进一步的特性测试。

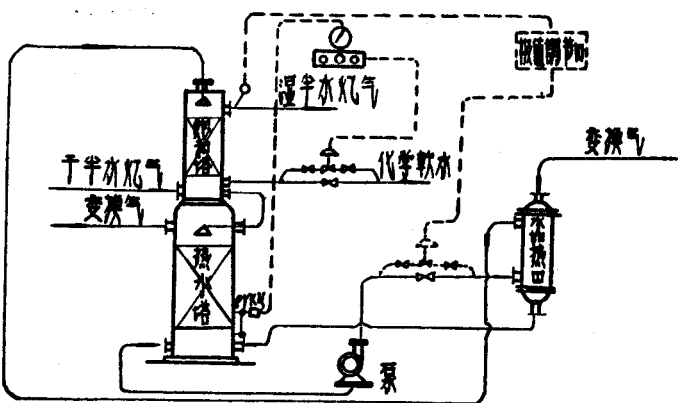
iv. 测试中发现，随着饱和塔煤气出口温度的提高，煤气负荷是下降的。估计原因是：蒸汽在变换工段不仅作为反应参加者，同时又作为动力能源。因此当出口煤气温度波动（即湿含量波动）会引起蒸汽量的波动时，蒸汽量的波动又会引起负荷的波动，所以饱和塔煤气出口温度与负荷的关系还需进一步摸清。

II. 今后的打算：

由于原有的三个热水塔——

饱和塔系统存在上述问题，而它们又以并联式地相互影响着，故对进行探索性的试验研究带来很多不便。并且对工艺设备改进、调节阀安装也存在一定困难。为了给极值调节系统的试验提供有利条件，所以，我们今后打算在15万吨扩建的新塔系统更进一步进行测试研究。现略述如下：

1. 新塔系统的工艺流程简图如八图示。



图八 新塔系统工艺流程

2. 新塔系统工艺流程特点：

(1) 饱和塔叠在热水塔之上，冷却塔独立开来。这样可以节约一个泵，即热水从饱和塔底排出后，经过水封就自动流入下面的热水塔。

(2) 增加了一个水加热器，对变换气所带热量进行再次回收。循环水先经过热水塔升温到77度左右，再进入水加热器，升温80度左右，这样使热水温度比以前老塔系统提高了一些，从而也提高了饱和塔出口半水煤气温度。

(3) 增加了热水塔液面自动调节系统，使塔器液位维持恒定。

3. 今后工作打算：

我们打算在新塔再进行对极值控制对象特性的复测和分析，为以后的模拟实验提供更确切完善的素材，并与老塔上初步测试结果进行比较，以早日实现对塔器的极值调节。

参 考 资 料

(1) 蔡福元、童丽珠

北京电器科学研究院自寻最佳点控制系统综述 1963年

(2) 北京电器科学研究院

工业生产过程自寻最佳控制综述报导 1963年

(3) 华东化工学院等编；

无机物工学——合成氨 中国工业出版社

(4) 兰化公司、北京电器科学研究院合写

饱和塔极值特性测试总结

1964年

(5) 汪应洛等 西安交通大学

变换工段经济分析

1964年

附录：饱和塔出口煤气温度——循环水量通道传递函数

测 試 日 期	传 递 函 数 $N'(P)$	K, T_{ycr}^*
8月19日	$W(P) = \frac{K(1+0.961P)e^{-2P}}{74P^2+15.639P+1}$	$K > 0$ $T_{ycr}=43$ 分
8月19日	$W(P) = \frac{K(1+26.9P)}{277.81P^2+36.87P+1}$	$K < 0$ $T_{ycr}=30$ 分
8月19日	$W(P) = \frac{Ke^{-4P}}{13.16P^3+69P^2+13.19P+1}$	$K > 0$ $T_{ycr}=28$ 分
9月2日	$W(P) = \frac{K(1+0.21P)e^{-2P}}{5.49P^2+4.166P+1}$	$K > 0$ $T_{ycr}=12$ 分
9月2日	$W(P) = \frac{K(1+0.0868P)e^{-3P}}{5.1P^2+4.845P+1}$	$K > 0$ $T_{ycr}=13$ 分
9月2日	$W(P) = \frac{Ke^{-8P}}{16.9P^3+14.82P^2+5.957P+1}$	$K > 0$ $T_{ycr}=18$ 分
9月3日	$W(P) = \frac{K(1+6.97P)}{116.5P^2+19.61P+1}$	$K > 0$ $T_{ycr}=35$ 分
9月3日	$W(P) = \frac{K}{7.1P^3+25.85P^2+8.893P+1}$	$K > 0$ $T_{ycr}=20$ 分
9月3日	$W(P) = \frac{K(1+1.21P)}{8.245P^2+5.188P+1}$	$K > 0$ $T_{ycr}=18$ 分

* T_{ycr} 表示温度 T ，从调节水量开始到达稳定所需时间。

气动记录式二次仪表及压力、温度变送器试制总结

上海吳涇化工厂

前 言

根据我厂变换工段自动化的要求须采用很多气动三针、二针二次式记录仪表以及许多压力温度变送器。由于这些仪表在国内尚无产品供应，但为了在年内实现变换工段自动化，故厂部决定亲自动手，进行试制。

一、气动三针、二针二次记录式仪表

(一) 仪表用途：

气动三针记录仪表是与气动单元组合式仪表(AYC)系列中的比例积分调节器配套使用，以供自动调节压力、温度、流量等。三针的作用分别是：一针记录被测参数，一针指示给定值，另一针指示调节伐门的开度。它装有手动切换、自动转换开关及给定器。气动二针记录仪表用来连续记录及指示经过一次变送器来的测量参数，二针可同时记录并分别指示一个测量参数。

(二) 仪表精度：达到满刻度 1%。

(三) 仪表外型尺寸：三针记录仪： $445 \times 10 \times 140(\text{mm})$ ，二针记录仪： $395 \times 130 \times 140(\text{mm})$ 。

(四) 仿制对象：

1963年4季度第一只气动二针指示式仪表是按热工仪表研究所的气动三针记录仪表进行仿制的。仿制成功后，由于缺点较多，故决不再仿制。随后，在上海化工研究院的协助下参考了该院所进口的英国气动三针、二次仪表后，进行试制。

(五) 试制过程中遇到的问题及解决措施。

1. 气塞：气塞是一块直角形金属块，要钻 $\phi 3\text{ mm}$ 。11条弯曲长孔，孔与孔之间不能相碰、看又看不到，因此加工困难。起初采用三块有机玻璃板拼起来，这样就容易加工。但有机玻璃板强度不够，使用时间又不长，后来改用一整块铝铜金作为材料。

2. 切换开关：切换开关在气动三针仪表内是主要部件，气密性要求很严。在切换过程中，不允许有漏气。最早我们采用伐柱式开关。封闭用的橡皮垫片是用普通 $\phi 8/\phi 4$ 橡皮管剪制的，经过几次开关，由于橡皮垫片收缩变形，就漏气。在增加弹簧强度后，开关又打不开，若多开关，伐柱体就歪斜，易漏气。后将伐柱改为弹子。封闭橡皮垫圈改为特制的耐油耐摩擦的橡胶开钢模压制。经过试用，没有发现漏气现象。

3. 记录笔尖：原采用医务室的 5^* 旧注射针头用手加工制成，但划出线条太粗约 1% 左右，而且断断续续。后改用 $4\frac{1}{2}^*$ 不锈钢注射针头用车加工制成，传送墨水管线改用特制的 $\phi 0.5\text{ mm}$ 塑料管，并将墨水缸改小，这样就解决划线太粗、断断续续出水问题。

4. 傳动部分——減速齒輪：由於銑床大，加工精度低，而傳動小馬達質量也不好，它的